# 橋脚周辺の局所洗掘防止策の数値解析

愛媛大学大学院 学生会員 ○寳田将浩 愛媛大学大学院 正会員 伊福 誠

## 1. はじめに

現在、多くの河川構造物の建設が進み、人間活動面からの多様な要請に応えることが求められている。しか しながら、一方では河川を取り巻く環境が複雑化し、河川管理への取組みがより一層重要な課題として問われ るようになっている.

橋脚周辺における局所洗掘を防止・軽減する方法としては、これまでにも様々な研究がなされており、洗掘 軽減効果は得られているが,限られた条件下での実験および解析におけるものであり,実河川への適用となる と経済性、構造物の強度など多くの問題を抱えており、確立されたものがあるとはいえないのが実情である.

さらに近年,公共事業費が徐々に削減され,老朽化した構造物を撤去し, 新たな構造物を築造することは困難な状況になりつつある.

こうしたことから、本研究では、図1に示すように橋脚前面の河床面上に 小規模な構造物(以下, protector と記す)を設置・埋め込むことで, その形状効 果から橋脚近傍で生じる下降流を減殺し、局所洗掘を軽減させることおよび protector の適切な埋め込み深さを検討することで、局所洗掘領域を最小限に とどめることを目的として、3次元 LES を用いて数値解析的に調べる.

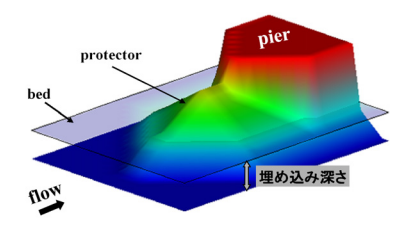


図 1 protector を埋め込んだ概念図

#### 2. 数值解析法

#### (1) 解析モデル

解析対象とする河川および橋脚は、それぞれ肱川の支川である大和川およびそこに計画された内子橋の橋脚 である. 橋脚の形状は長さ 4.5m, 幅 1.2m の小判型である. 解析水路は水深 4m, 河川幅 40m の矩形断面とし, 縦断方向距離は 40m,橋脚は中央部に配置した.また,流量は計画流量の 100m³/s,断面平均流速は 0.625m/s, Froude 数は 0.11, 河床を構成する底質粒径および密度は, それぞれ 1mm および 2,650kg/m³, 移動床の空隙率は 0.4 とした.

# (2) protector に関する諸条件

(3)各種係数と格子間隔の評価

計画する protector の形状は図 2 に示すとお りである. (a)および(b)は橋脚に埋設板(以下, plate と記す)を取り付けたものおよび protector を埋め込んだ側面図である. 埋め込 む深さは 1m, 0.75m, 0.5m の 3 パターンであ る.

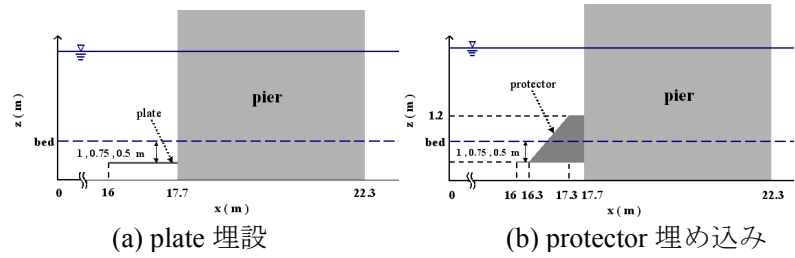


図 2 protector の模式図

# 水平格子間隔は,橋脚周辺を 10cm, それ以外を 20cm とし,鉛直方向は水深を 20 等分した.また,時間間

隔は 0.01s とし, 1,800 秒間計算した. なお, Smagorinsky 定数は 0.1, Manning の粗度係数は 0.03m<sup>-1/3</sup>·s である.

## 3. 数值解析結果

#### (1) 橋脚周辺の流速ベクトル(u-w)の空間分布

図3は、水路中央における橋脚周辺の流速ベクト ル(u-w)の空間分布を示すものである. 対象とする領 域は、水路縦断方向に x=15~25m および底面から水 面にかけての範囲である. なお, (a)および(b)は, そ れぞれ河道中央における protector を付設した場合 および protector を 1m 埋め込んだ場合の結果である.

(a)をみると、橋脚前面においては鉛直下降流が生 じており、protector の頂部に達した下降流は、

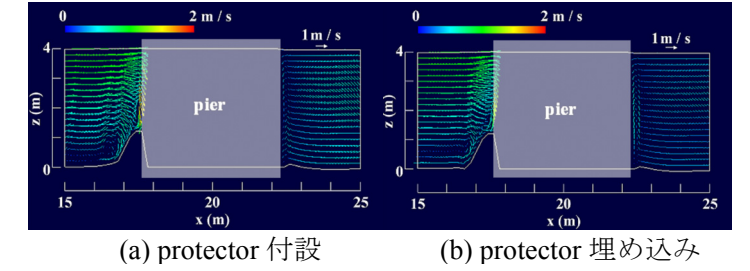


図3 流速ベクトル(u-w)の空間分布

protector の上流側法面に沿って上流向きの流れを形成し, 鉛直上昇流へと遷移して, protector の上流側では時計 回りの渦を形成している. また, この渦によって底面の砂が巻き上げられ, 洗掘孔が生じるといった局所洗掘 の一連のメカニズムが確認できる. なお, 橋脚後面においては極めて弱い上流向きの流れが生じている.

(b)をみると、橋脚前面においては(a)と比較すると鉛直下降流は緩流化している. また、protector の頂部に達

した下降流は、protector の上流側法面に沿って底面まで下降する流れがみられるが、渦は生じていない.これ は、protector を埋め込むことで、橋脚前面の局所洗掘深が小さくなったためであると考える.

### (2) 橋脚周辺における地形変化

図4は橋脚周辺における地形変化である.また,計算開始後から30分の 結果である.対象とする領域は,水路縦断方向に x=15~25m および橋脚中 心から横断方向に 5m であり、 $v_c=0m$  は河道中央である. なお、中央より 上半分および下半分を、それぞれ protector を付設した場合および protector を 1m 埋め込んだ場合としている.

図 4 をみると、protector を付設した場合では、橋脚側面に凹凸形状の洗 掘孔が生じており、最大洗掘深は x=18m,  $y_c=0.7m$  で約 0.79m である. 一 方, protector を 1m 埋め込んだ場合では, 橋脚側面において横断方向に舌状 の洗掘孔が形成されており、最大洗掘深は x=18m,  $y_c=-0.8m$  で約 0.5m であ り,洗掘深は約0.3m 浅くなっている. すなわち, protector を埋め込むこと で、洗掘深をコントロールすることにより橋脚前面の流れが緩流化された ためであると考える.

# (3) protector の埋設深さと最大洗掘深との関係

図5は橋脚前方にplateのみを埋め込んだ場合の橋脚周辺の地形変化であ る. また, これらは計算開始後から30分後の結果である. 対象とする領域 は、図4と同様である.なお、中央より上半分および下半分を、それぞれ protector E 1m 埋め込んだ場合および 0.5m 埋め込んだ場合としている.

図5をみると、protectorを1m埋め込んだ場合では、橋脚前面付近におけ る洗掘深さは plate の深さは plate の深さより浅く, x=17.9m,  $y_c=0.2m$  で最 大洗掘深 1m が確認される.一方, protector を 0.5m 埋め込んだ場合では, 橋脚前面付近の plate の位置では 0.5m より洗屈されていないが、plate の埋 め込み領域の外である x=18m,  $y_c=1.2m$  で最大洗掘深 1.02m が確認される. これは、洗掘深が plate の埋設深さに達し、橋脚前面部において洗掘が生じ なくなったため、plate の側面部で橋脚前面部と同様の洗掘が生じたためで あると考えられる.

#### (4) plate の埋設深さの設定法

中川・鈴木(1974)は、室内実験および現地データをもとに動的 平衡状態における平衡洗掘深についての経験式を提案している.

$$s_{\min} / D = 3.4 - 0.9 \log D / d$$
 (1)

ここに、 $s_{\min}$  は平衡洗掘深、D は円柱橋脚の直径、d は底質の 粒径である.式(1)は実験データおよび現地データを用いた経験 式にも関わらず、その適用範囲は $20 \le D/d \le 2000$ であるとし、 現地データは適用範囲外であるので、導出過程において誤りが あったのではないかと思われる.

図6は中川・鈴木が経験式(1)を導出するのに用いた室内実験 および現地データの無次元洗掘深 $s_{\min}/D$ とD/dとの関係を 示したものである. 図中のデータをもとに最小二乗法を用いた 非線形回帰式は次式(図中の赤破線)のようになる.

$$s_{\min}/D = 2.92 - 0.68 \log D/d$$
 (2)

なお,式(2)の適用範囲は, $22.5 \le D/d \le 7500$ である.

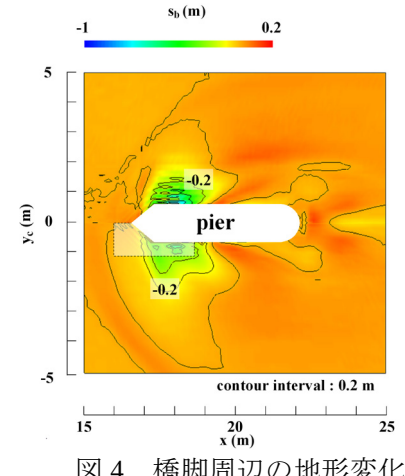


図 4 橋脚周辺の地形変化

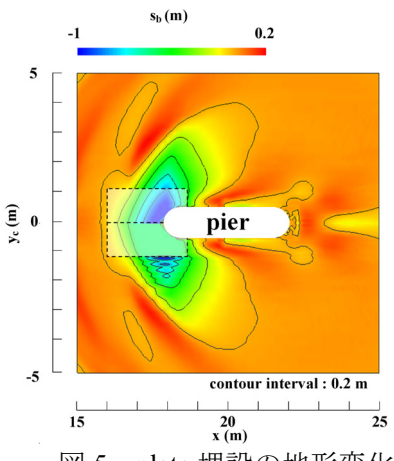
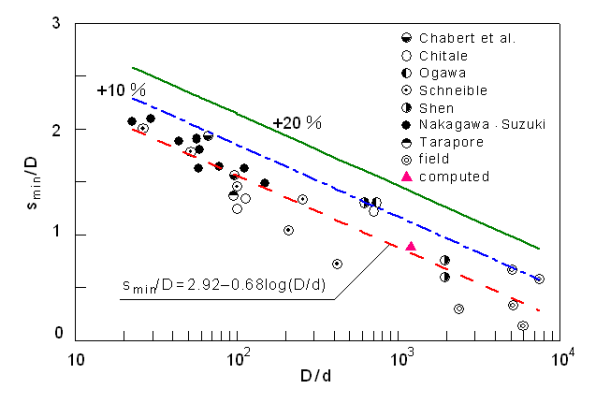


plate 埋設の地形変化



 $s_{\min}/D \geq D/d \geq 0$ 関係

plate を埋設する深さを予測することが橋脚周辺の局所洗掘領域を最小限にとどめるために重要となる. そこ で、本研究で解析に用いた数値モデルで現地スケールの円柱橋脚(D=1.2m,d=1mm)についての計算結果を プロットしたのが図6中の赤の三角印である.計算して得た無次元洗掘深は0.878であり、式(2)で算出される 洗掘深より 6%程度大きいだけで式(2)とよく対応している. なお, 長さ 4.6m, 幅 1.2m の小判型橋脚の無次元洗 掘深は0.903であり、円柱橋脚のそれとほぼ同一である.

式(2)を求めるのに使用した室内実験および現地データの上限は式(2)の1.1倍程度(図中の青一点鎖線)である. 以上のことから,安全側を考慮して plate の埋設深さは式(2)で算出される洗掘深の 1.2 倍程度(図中の緑実線)に 設定すればよいのではないかと考える.